

Università degli studi di Bergamo

Scuola di Ingegneria (Dolmine)

CCS Ingegneria Edile

L-23 Ingegneria delle Tecnologie per l'Edilizia

Scienza delle Costruzioni

(ICAR/08 - SdC ; 9 CFU)

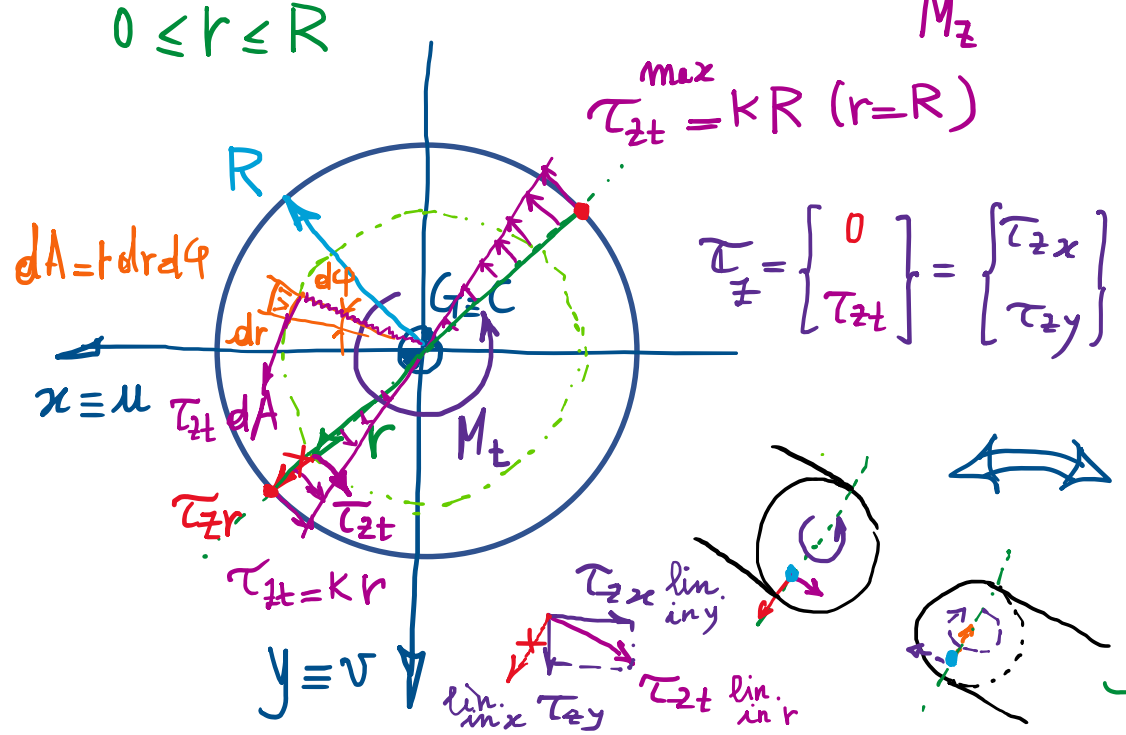
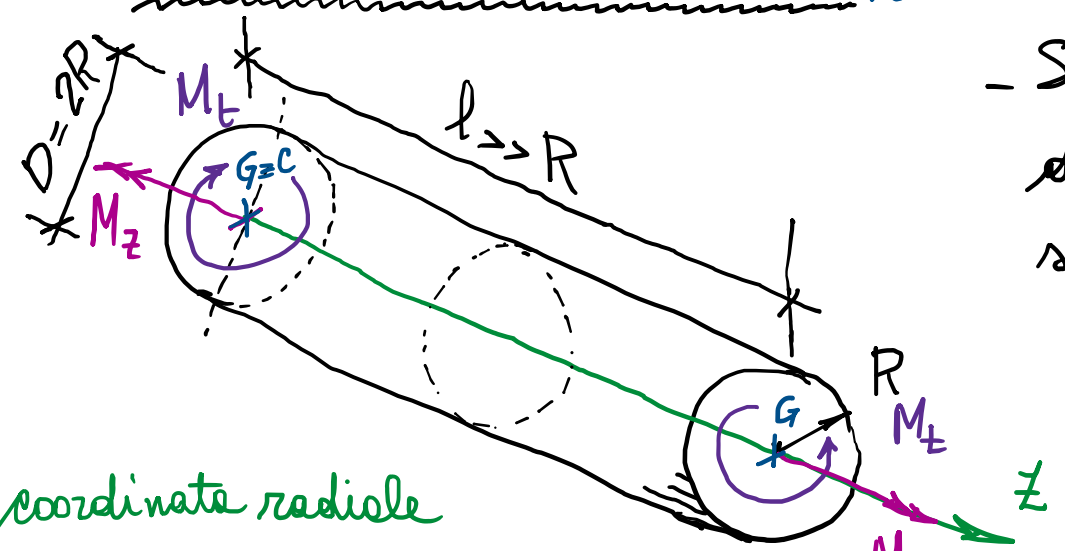
A.A. 2020/2021

prof. Egidio RIZZI

egidio.rizzi@unibg.it

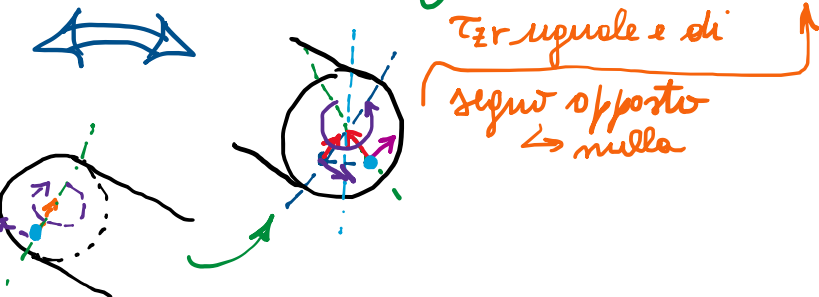
LEZIONE 25

4) Azione torcente o torsione (circolare)



- Si consideri un prisma di DSV di sezione circolare, di raggio R (diametro $D = 2R$, area $A = \pi R^2 = \frac{\pi D^2}{4}$) soggetto a momento torcente costante $M_t = M_z$.
- In analogia coi casi di DSV precedentemente visti, in particolare al caso della flessione retta, si procede con approssimazione semi inverso agli sforzi, ipotizzando, in base a considerazioni di simmetria (polare rispetto a $G = C$), il seguente campo di sforzo:

$$(\sigma_{ij} = 0 ; \tau_{zr} = 0); \quad \tau_{zt} = K r$$



cost
lineare a farfalle lungo qualsiasi diametro (con valore nullo in $G=C$)

- Si verifica che tutte le eq. mi governanti del pb. elastico lineare risultino soddisfatte. ✓
- Resta da impostare le condizioni di equivalenze statiche tra il campo ipotizzato delle τ_{zt} e il momento torcente M_t che le ha generate:

$$\int_A \tau_{zt} dA r = M_t$$

A \underbrace{Kr}_{K}

$$K \int_A r^2 dA = M_t$$

$\underbrace{\int_A r^2 dA}_{J_G}$

momento d'inerzia
polare rispetto a $G \equiv C$

$$[L]^4 J_G = \int_0^{2\pi} \int_0^R r^2 r dr d\phi = \int_0^{2\pi} \frac{r^4}{4} \Big|_0^R d\phi$$

$$= \frac{R^4}{4} \cancel{2\pi}$$

$$= \frac{\pi R^4}{2} = \frac{\pi D^4}{32}$$

$r^2 = x^2 + y^2$

 $J_G = J_x + J_y = 2J_r$
 $J_r = \frac{\pi r^4}{2} = \frac{\pi R^4}{4} = \frac{\pi D^4}{64}$

⇒ flessione (rette)

$$\Rightarrow K = \frac{M_t}{J_G}$$

$$\tau_{zt} = Kr = \frac{M_t r}{J_G} = \frac{2M_t r}{\pi R^4}$$

Analogie con

$$\sigma_{zt} = Ky = \frac{M_x}{J_x} y$$

flessione rette

$$\sigma_{\max} = \frac{M_x}{W_x} = \frac{4M_x}{\pi R^3}$$

\downarrow

W_x (modulo di resistenza flessione)

$$= \frac{tR^3}{4} = \frac{W_t}{2}$$


$$\tau^{\max} = \tau_{zt}^{\max} = \tau_{zt}(r=R) = \frac{M_t R}{J_G}$$

Modulo di resistenza
a torsione

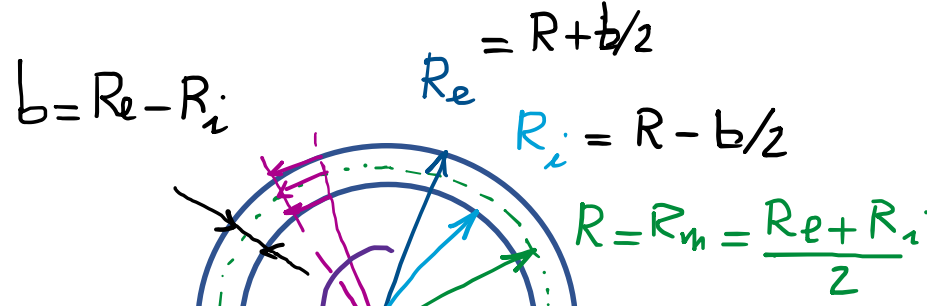
$$= \frac{M_t}{J_G/R} = \frac{M_t}{W_t}$$

$$= \frac{2M_t}{\pi R^3} = \tau^{\max}$$

$$W_t = \frac{J_G}{R} = \frac{\pi R^4}{2R} = \frac{\pi R^3}{2} [L]^3$$

(parametro per cui dividere M_t
per trovare le τ^{\max})

- Sezione circolare cava



$$\begin{aligned} r &= R_i : \tau^{\min} \\ r &= R_m : \tau^m \\ r &= R_e : \tau^{\max} \end{aligned}$$

τ_{zt} trapezoidali
sullo spessore
 $R_i \leq r \leq R_e$

\rightarrow Cdsdc
Forza nei profili notabili chiusi

Bredt

$$\tau^m = \frac{M_E}{2\pi R^2 b \left[1 + \frac{1}{4} \left(\frac{b}{R} \right)^2 \right]}$$

$b \sim \frac{1}{10} R$
parete sottile

se $\frac{b}{R} \rightarrow 0$

$\tau \approx \frac{M_E}{2\pi R^2 b}$

$\tau_{\text{cost. sullo spessore}}$

Ω area racchiusa all'interno della linea media

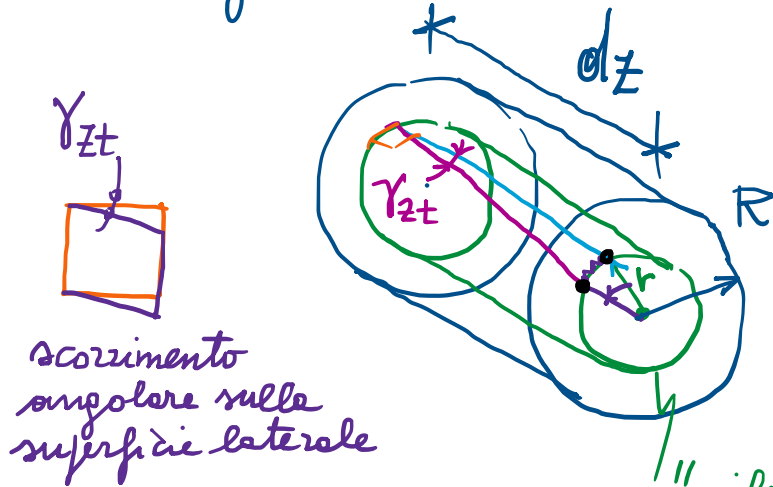
$$\begin{aligned} \tau_{zt} &= \frac{M_E}{J_G} r \\ J_G &= \frac{\pi}{2} (R_e^4 - R_i^4) \\ &= \frac{\pi}{2} (R_e^2 + R_i^2)(R_e^2 - R_i^2) \\ &= \frac{\pi}{2} \left(\left(R + \frac{b}{2} \right)^2 + \left(R - \frac{b}{2} \right)^2 \right) \left(\left(R + \frac{b}{2} \right)^2 - \left(R - \frac{b}{2} \right)^2 \right) \\ &= \frac{\pi}{2} \left(R^2 + \frac{b^2}{4} + Rb + R^2 + \frac{b^2}{4} - Rb \right). \\ &\quad \cancel{\left(R^2 + \frac{b^2}{4} + Rb - R^2 - \frac{b^2}{4} + Rb \right)} \\ &= \frac{\pi}{2} \left(R^2 + \frac{b^2}{4} \right) 2 Rb = 2\pi Rb \left(R^2 + \frac{b^2}{4} \right) \\ &= 2\pi R^3 b \left[1 + \frac{1}{4} \left(\frac{b}{R} \right)^2 \right] = J_G \end{aligned}$$

- Campo di deformazione:

$$\sum_{ij} = 0 \text{ tranne } \gamma_{zt} = \frac{\tau_{zt}}{G} = \frac{M_t}{G J_G} z \quad G: \text{modulo di elasticità tangenziale o}$$

" " taglio $G = \frac{E}{2(1+\nu)}$

- Deformazione del concio di prisme di lunghezza dz :



scorrimento angolare sulla superficie laterale

"cilindretto" interno alla superficie laterale a distanza radiale r

rotazione rigida nel piano delle sezioni, di entità $d\vartheta$ su base dz (rotaz. relativa tra sez. a distanza dz)

$$d\vartheta = \tan \gamma_{zt} dz = r d\vartheta$$

$$\frac{M_t}{G J_G} dz = r d\vartheta \Rightarrow$$

$$d\vartheta = \frac{M_t dz}{G J_G} \quad \begin{array}{l} \text{rigidità} \\ \text{torsionale} \end{array}$$

$$d\varphi = \frac{M_x dz}{E J_x} \quad \begin{array}{l} \text{flessione} \\ \text{rigidità} \\ \text{flessionale} \end{array}$$

- Generalizzazione per sezioni di forma generica: \rightarrow ColSdC

$$d\vartheta = \frac{M_t}{G J_t} dz = \eta \frac{M_t}{G J_G} dz$$

J_t : momento d'inerzia torsionale; $\eta = \frac{J_G}{J_t} \geq 1$ fattore di torsione (proprietà geom. sez. trasv.)

$$J_t = \frac{J_G}{\eta} \leq J_G$$

Intero prisma:

$$\Delta\vartheta = \frac{M_t L}{G J_G} \quad \begin{array}{l} \text{rotaz. relativa} \\ \text{tra le basi del prisma} \end{array}$$